



高考总复习单元测评卷

命 题 新 趋 势 高 考 新 题 型

分层滚动卷

FEN CENG GUN DONG JUAN 主编：肖德好

Geography 地理

开明出版社



服务热线：4000-555-100

责任编辑：王 拓
封面设计：唐思羽



绿色印刷产品



定 价：70.80元

印刷质检码20254980



分层滚动卷

单元检测卷（一）	[考查范围：地图及应用，宇宙中的地球及运动]	01
单元检测卷（二）	[考查范围：地球上的大气及运动]	05
单元检测卷（三）	[考查范围：地球上的水及运动]	09
阶段滚动检测卷（一）	[考查范围：地球与地图，宇宙中的地球及运动，地球上的大气及运动，地球上的水及运动]	13
单元检测卷（四）	[考查范围：地表形态与地貌]	17
单元检测卷（五）	[考查范围：植被、土壤与自然环境特征]	21
单元检测卷（六）	[考查范围：自然灾害与地理信息技术]	25
阶段滚动检测卷（二）	[考查范围：地球上的大气及运动，地球上的水及运动，地表形态与地貌，植被与土壤，自然环境的整体性与差异性，自然灾害及防灾减灾]	29
单元检测卷（七）	[考查范围：人口、乡村与城镇]	33
单元检测卷（八）	[考查范围：产业区位因素及变化]	37
单元检测卷（九）	[考查范围：交通运输布局与区域发展，国家发展战略]	41
阶段滚动检测卷（三）	[考查范围：人口、乡村与城镇，产业区位因素及变化，交通运输布局与区域发展，国家发展战略]	45
单元检测卷（十）	[考查范围：区域与区域发展]	49
单元检测卷（十一）	[考查范围：区域联系、合作与区域协调发展]	53
单元检测卷（十二）	[考查范围：资源、环境与国家安全]	57
阶段滚动检测卷（四）	[考查范围：产业区位因素及变化，交通运输布局与区域发展，国家发展战略，区域与区域发展，区域联系、合作与协调发展，资源、环境与国家安全]	61
综合过关检测卷（一）	65
综合过关检测卷（二）	69

考点 1 地球与地图	练 01
考点 2 地理图像绘制	练 02
考点 3 地球自转及其地理意义	练 04
考点 4 地球公转及其地理意义	练 05
考点 5 大气组成、分层、受热过程与大气运动	练 06
考点 6 气压带和风带	练 07
考点 7 常见天气系统	练 08
考点 8 生活中的地理专项训练——天气变化	练 09
考点 9 气候类型与自然景观	练 11
考点 10 水循环、陆地水体及其相互关系	练 12
考点 11 海水性质、海水运动与海—气相互作用	练 13
考点 12 内力作用与地貌	练 15
考点 13 外力作用与地貌	练 16
考点 14 生活中的地理专项训练——河流变迁	练 18
考点 15 自然环境的整体性	练 19
考点 16 自然环境的地域差异	练 21
考点 17 植被与土壤	练 22
考点 18 自然灾害及防灾减灾	练 24
考点 19 人口分布与人口容量	练 25
考点 20 人口迁移	练 26
考点 21 生活中的地理专项训练——人口增长与问题	练 27
考点 22 城市空间结构与地域文化	练 29
参考答案 / 练 59	

单元检测卷(一)

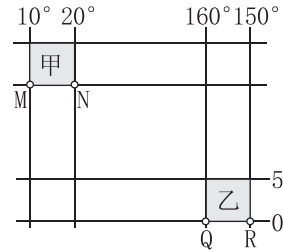
(考查范围:地图及应用,宇宙中的地球及运动)

第一部分 选择题

(建议用时:40分钟,分值50分)

- (一)基础易错全扫描(共10小题,每小题2分。每小题所给的四个选项中,只有一个选项是正确答案)

[2025·江西南昌月考]下图为局部经纬网图,甲、乙区域所跨的纬度相等,QR的实地长度约为MN的2倍。据此完成1~2题。



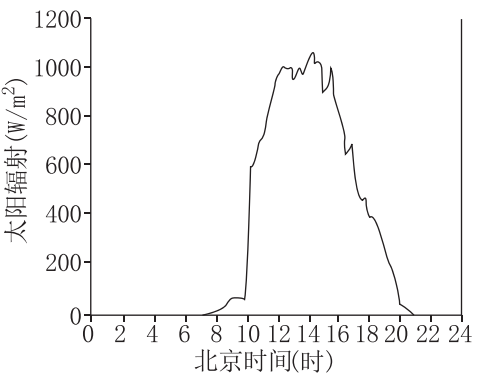
1. 与N点关于地轴对称的点的坐标为 ()
 A. (60°N, 20°E) B. (60°N, 160°W)
 C. (60°S, 20°E) D. (60°S, 160°W)
2. 下列有关甲、乙两区域的叙述,正确的是 ()
 A. 甲区域位于乙区域的西北方向
 B. 乙区域的面积约是甲区域的4倍
 C. 甲区域位于西半球,乙区域位于东半球
 D. 甲区域面积约是乙区域的1/2

人民英雄纪念碑高37.94米,天安门广场(39°54'N, 116°23'E)东西宽约500米,下图为天安门广场及周边地区示意图。读图完成3~4题。

3. 10月1日人民英雄纪念碑 ()
 A. 在日出时的影子指向人民大会堂南端
 B. 12时的影子指向正北
 C. 北侧广场的升旗仪式在6时略后进行
 D. 一天中影长可为15米
4. 若图中的图幅东西长15厘米,则该图比例尺约为()
 A. 1:1000 B. 1:5000
 C. 1:300 D. 1:10000

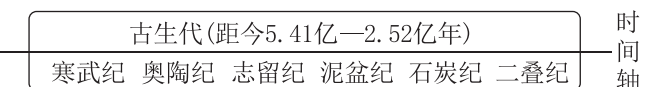


绒布河谷位于珠穆朗玛峰北侧,山高谷深,大致呈西北—东南走向。河谷南部和西侧多冰川。下图示意绒布河谷某年5月29日—6月29日平均太阳辐射日变化。据此完成5~6题。



5. 北京时间上午7—10时,绒布河谷的微弱太阳辐射直接来自 ()
 A. 河谷谷底冰川反射
 B. 河谷内西坡地面反射
 C. 河谷内东坡地面反射
 D. 珠峰地面辐射
6. 绒布河谷太阳辐射骤增、骤减的主要原因是 ()
 A. 山体遮蔽作用显著 B. 天气变化剧烈
 C. 大气中粉尘变化大 D. 臭氧层变化显著

2024年3月3日,某中学地理实践小组赴巢湖北山开展“敲开化石密码,揭秘地质传奇”的考查活动。下面为同学们采集的化石标本及研究信息。据此完成7~8题。



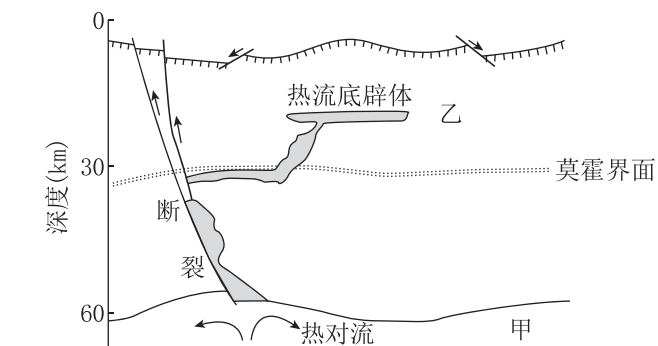
化石类型	岩石性状	对应地质年代	所含古生物生长习性
三叶虫化石	泥质砂岩,呈灰绿或黄绿色,有细粉砂,含三叶虫化石,稀盐酸滴入无气泡出现	中志留纪	三叶虫喜欢生活在温暖的浅海区域,以藻类植物、原生动物等为食
腕足类化石	石灰岩,呈深灰色,部分浅灰色,含腕足类、珊瑚类等化石,稀盐酸滴入迅速产生大量气泡	早二叠纪	腕足类动物对环境的适应能力较差,多生活在温暖浅海,最浅可达潮间带

7. 此次考查活动,同学们需要准备的地质工具有 ()
 ①罗盘 ②地质锤 ③挖土锹 ④放大镜 ⑤遮阳伞
 A. ①②④ B. ①③④ C. ②③⑤ D. ③④⑤

8. 根据研究信息可推测

- ①泥质砂岩和石灰岩均为可溶性岩石
 - ②三叶虫生活年代要晚于腕足类动物
 - ③古生代时期巢湖北山为温暖的浅海
 - ④巢湖北山地区经历过沧海桑田变迁
- A. ①② B. ③④
 C. ①③ D. ②④

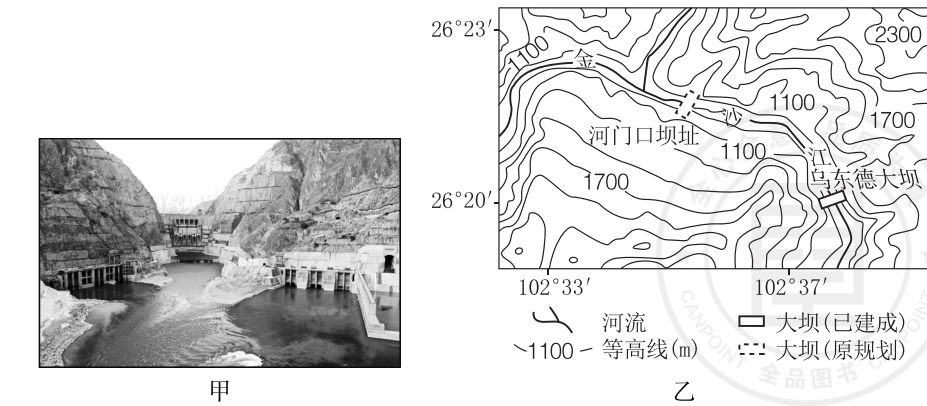
[2025·河北保定开学考试]大地热流指单位时间地球内部热能通过热传导到达地表并散发到太空中的热量,松辽盆地大地热流较高,大庆地区大地热流高达84.2毫瓦/米²。调查发现该地地壳层薄,网状断层发育,岩浆沿裂隙上升,在地壳中上部聚集形成热流底辟体(如下图)。据此完成9~10题。



9. 与乙部位相比,图中甲部位的物质特性是 ()
 A. 物质密度小 B. 地震波速小
 C. 液态流动性 D. 可塑性更强
10. 下列与构成热流底辟体的岩石类型一致的是 ()
 A. 油页岩 B. 花岗岩
 C. 安山岩 D. 大理岩

(二)重难点素养(共15小题,每小题2分。每小题给出的四个选项中,只有一项是符合题目要求的)

[2025·福建三明开学考试]拱坝是一种建筑在峡谷中的拦水坝,通过凸向上游的拱形坝体将水压力传给河谷两岸来维持稳定。金沙江乌东德水电站大坝属于特高拱坝。图甲为乌东德大坝景观图,图乙为金沙江下游某河段及附近地区等高线示意图。据此完成11~12题。



11. 该水电站大坝原规划建于河门口,后选址在乌东德,其主要原因是现坝址
 A. 河道笔直,利于通航 B. 河面开阔,利于蓄水
 C. 两岸对称,利于筑坝 D. 落差较大,利于发电
12. 据图乙推测乌东德水电站拱坝的坝体相对高度大约为 ()
 A. 100 米 B. 300 米 C. 400 米 D. 500 米
- 坡度表示地表陡缓的程度,百分比是表示坡度常用方法之一,即坡度=(高程差/路程)×100%。同一等坡度线上各点地表坡度值相等。下图是我国西南某区域的等坡度线示意图,图中河流均为源头上游河段。某高中地理研学小组徒步从甲村到乙村考察,线路长度约 6 千米。两村建筑多就地取材。据此完成 13~15 题。
-
13. 研学小组行走最为费力的路段是 ()
 A. ①路段 B. ②路段
 C. ③路段 D. ④路段
14. 下列对该地区的描述,正确的是 ()
 A. 甲河流向为自东南流向西南
 B. 该区域最大坡度差值为 55%
 C. 站在 b 处可见河流流向 a 处
 D. 站在 d 处可见河流流向 c 处
15. 图中两村落 ()
 A. 广泛种植小麦 B. 乙村海拔更高
 C. 多吊脚楼建筑 D. 航运交通便利
- [2024·湖北武汉三模] “鹊桥二号”卫星是一颗中继通信卫星,主要在探月四期工程执行月球南极地区样品采集任务中提供地月通信中继服务,其绕月运行轨道属于十分特殊的大倾角椭圆轨道,轨道面与月球赤道面的夹角达到了 54.8°,图甲示意“鹊桥二号”卫星的绕月运行轨道。图乙示意“嫦娥五号”在月面工作期间,实现国旗展开画面,该国旗采用了适应月球环境的新型复合材料。据此完成 16~18 题。
-
16. 与位于月球赤道上空的轨道相比,“鹊桥二号”选择大倾角轨道更有利于 ()
 A. 获得光照 B. 接近月面
 C. 服务极区 D. 联系地球

17. 地球上与“鹊桥二号”椭圆轨道的设计原理有关的地理现象是 ()
 A. 太阳直射点回归 B. 北半球夏季更长
 C. 昼夜长短的变化 D. 南半球河流左偏
18. 普通旗帜无法在月球飘扬,根本原因是 ()
 A. 月球的质量较小 B. 月球与太阳的距离较远
 C. 月球自转与公转周期相等 D. 月球没有液态水

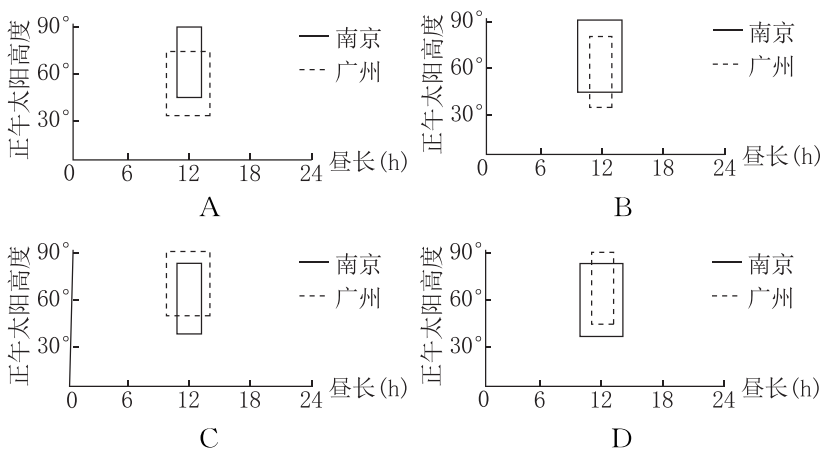
[2024·广东广州二模] 2022 年 7 月 1 日(农历六月初三)20 时,天文爱好者小明在安徽省某地拍摄到了位于东方地平线附近的人马座。同年 10 月 1 日(农历九月初六)20 时,他在同一地点拍摄时发现人马座位于天顶附近(下图)。据此完成 19~20 题。



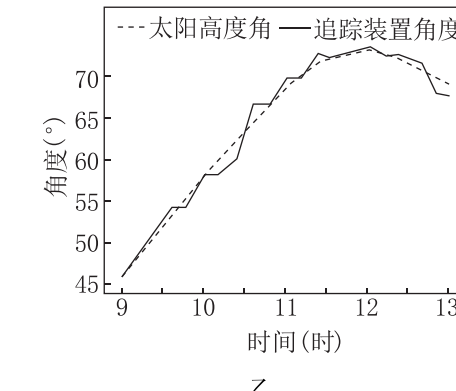
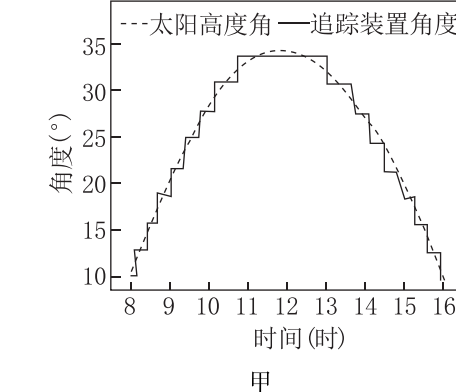
19. 两次拍摄时均为晴天,但 10 月 1 日拍摄的人马座照片更清晰,最可能的原因是 10 月 1 日 ()
 A. 接近望日,月亮亮度更大 B. 落日余晖影响更大
 C. 大气对星光削弱作用更小 D. 城市灯光影响更小
20. 不同日期同一时刻,人马座在天空中位置发生变化的原因是 ()
 A. 恒星日与太阳日的长短差异
 B. 昼夜长短的季节变化
 C. 恒星年与回归年的长短差异
 D. 地球公转速度的变化

[2024·江苏扬州模拟] 某校地理小组开展实践活动,对南京(32°N, 119°E)、武汉(31°N, 114°E)、广州(23°N, 113°E)三地的日月升落、昼夜长短变化规律进行研究。某年 9 月 29 日中秋节当晚,地理小组记录南京的月出时间约为北京时间 17:57。据此完成 21~22 题。

21. 中秋节武汉的月出地方时最接近 ()
 A. 17:57 B. 18:15 C. 17:35 D. 18:00
22. 下列能正确示意南京、广州的昼长和正午太阳高度年变化范围的是 ()



[2024·辽宁沈阳三模] 为提高太阳能的利用效率,某研究者设计了一款太阳能追踪控制装置,可通过电机推杆自动调节太阳能电池板倾斜角,类似雨伞推杆工作原理。图甲是某年冬至日的测试中计算得出的太阳高度角与追踪装置角度(等于太阳能电池板倾斜角的余角)关系图,图乙为后期进行装置调整后在同一地点再次测量的数据得到的关系图。完成 23~25 题。



23. 推测该装置所在地点最可能是 ()
 A. 海口 B. 北京
 C. 长春 D. 上海
24. 后期调整后,该太阳能追踪控制装置运行时 ()
 A. 能够实时准确追踪太阳高度角
 B. 推杆移动的距离具有周期性
 C. 能够实时准确追踪太阳方位角
 D. 推杆移动距离与太阳活动有关
25. 下列关于两次测试的叙述,合理的是 ()
 A. 第一次测试时的地球公转速度较慢
 B. 两次测试时的节气正好相反
 C. 第二次测试推杆移动速率发生变化
 D. 两次测试的时间间隔两个月

请将选择题答案填入下表:

题号	1	2	3	4	5	6	7	8	9	10	11	12	13
答案													
题号	14	15	16	17	18	19	20	21	22	23	24	25	总分
答案													

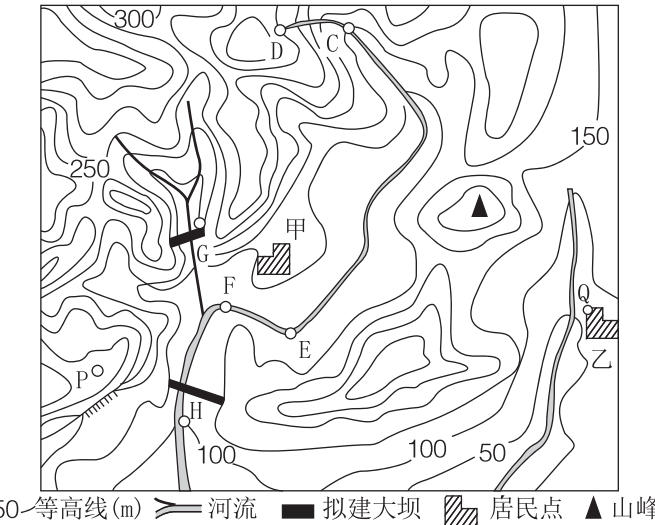
第二部分 非选择题

(建议用时:50分钟,分值50分)

(三)非选择题(本大题共4小题,共50分)

26. (12分)[2024·山东德州—烟台联考]阅读材料,回答下列问题。

暑期小明一家到我国南方某旅游区($110^{\circ}\text{E}, 26^{\circ}\text{N}$)旅游,先后参加了攀岩运动和水上漂流活动。小明一家到达图中山峰所在位置时为14时(北京时间),小明从山峰望向甲处时,发现自己的影子在左前方约 30° 位置。下图为该区域等高线地形图。



(1)指出CD和EF两河段中更适合漂流的河段,并说明判断的理由。(3分)

(3)该地欲开发区域内的水力资源,有G、H两处建坝方案,比较说明两方案各自的优势。(4分)

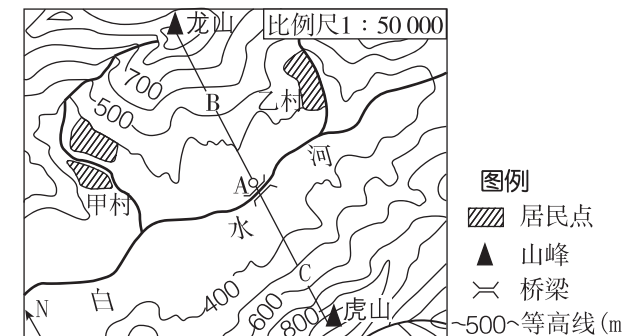
(1)指出图中白水河的流向以及甲村与龙山之间的大致温差范围。(2分)

(4)观测者站在P点,能否看到乙村的最北部Q点?试绘制地形剖面图说明理由。(3分)



(2)简述图示地区地形、地势的基本特征。(3分)

27. (12分)下图为我国某地区等高线地形图。读图回答下列问题。



(2)漂流时该地图不慎被水浸泡,原图中右下角乙处下方指向标部分缺失,请在原图中画出指向标。(2分)

(3)依据图中提供的信息,说明甲、乙两村所处位置的相同点。(4分)

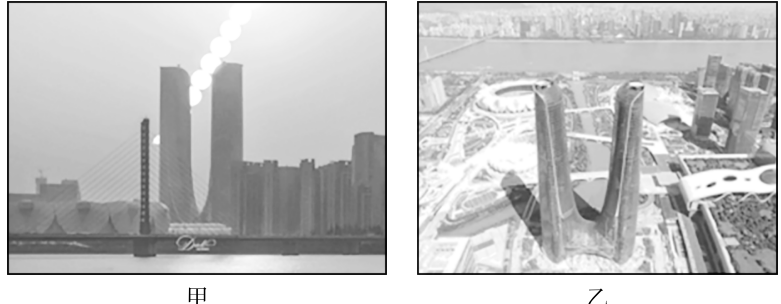


(4)某学校两组同学进行登山比赛,分别沿B、C路线攀登龙山和虎山,有人建议将出发地设在A点。你认为是否合理?简述理由。(3分)

(2)指出图中①②③④四地最可能形成盐场的地点,并说明理由。(4分)

29. (10分)阅读图文材料,完成下列问题。

杭州(30°N,120°E)第19届亚运会于2023年9月23日至10月8日举行,是中国第三次举办亚洲最高规格的国际综合性体育赛事。杭州世纪中心(又称“杭州之门”,是一座“双子塔”)是杭州第19届亚运会重点配套项目之一,屹立在钱塘江畔。一群摄影爱好者相邀于9月23日当天在其附近拍摄,图甲为一摄影爱好者在靠近钱塘江一侧固定机位正对“杭州之门”中心连续拍摄后得到的“杭州之门”日出序列(为合成后的照片),图乙为另一摄影爱好者在某一时刻远离钱塘江的另一侧拍摄(该日塔影最短时与此时相差5小时),并在拍摄后立刻用微信发给了自己在甘肃天水(105°E)的好友。



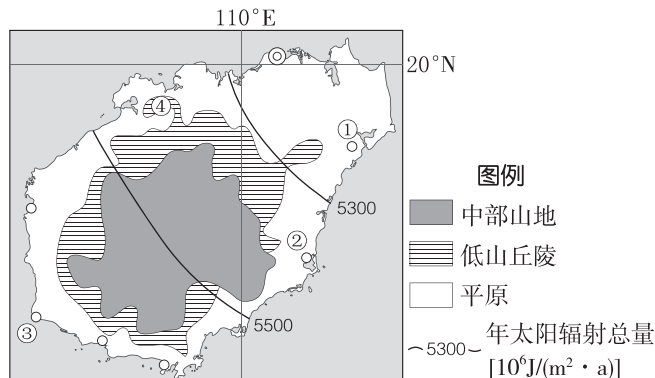
(1)请根据图甲推测“双子塔”的走向,并说明理由。(4分)

28. (16分)阅读材料,回答问题。

材料一 2021年6月17日9时22分,中国“神舟十二号”载人飞船成功发射升空,将三名航天员送入太空。这是我国载人航天工程立项实施以来的第19次飞行任务,也是空间站阶段的首次载人飞行任务。

材料二 卫星发射窗口是允许运载火箭发射的时间范围,其宽窄受发射地的气象气候条件影响。文昌发射基地的发射窗口很窄。

材料三 下图为海南岛地形及年太阳辐射总量分布示意图。



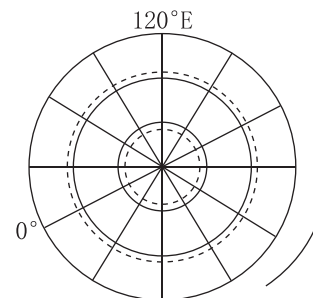
(1)据图说明海南岛年太阳辐射总量的分布特点,并分析原因。(5分)

(3)图中①地是我国第四个航天发射基地。分析①地在航天发射方面的突出优势。(3分)

(4)从气象气候条件方面分析文昌发射基地发射窗口窄的原因。(4分)

(2)当好友收到微信消息时约为甘肃天水地方时_____时,拍摄图乙时全球新旧日期的比例为_____。(2分)

(3)请在下图绘出拍摄图乙1小时后的光照图。(画出地球的自转方向、太阳光线和晨昏线,用斜线表示夜半球)(4分)



阶段滚动检测卷(一)

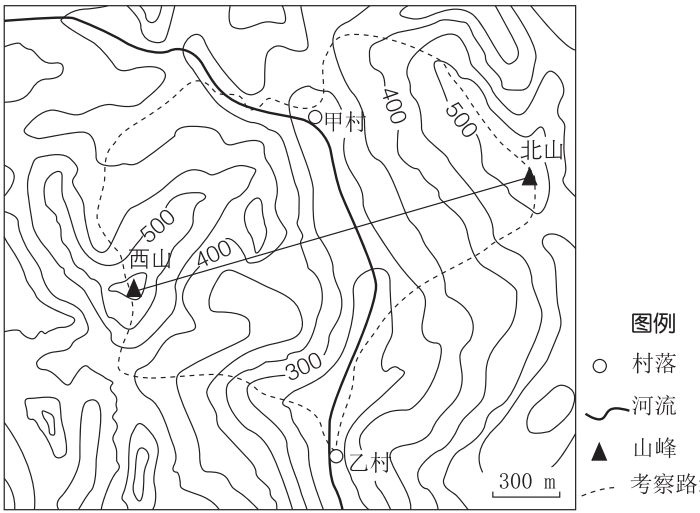
(考查范围:地球与地图,宇宙中的地球及运动,
地球上的大气及运动,地球上的水及运动)

第一部分 选择题

(建议用时:40分钟,分值50分)

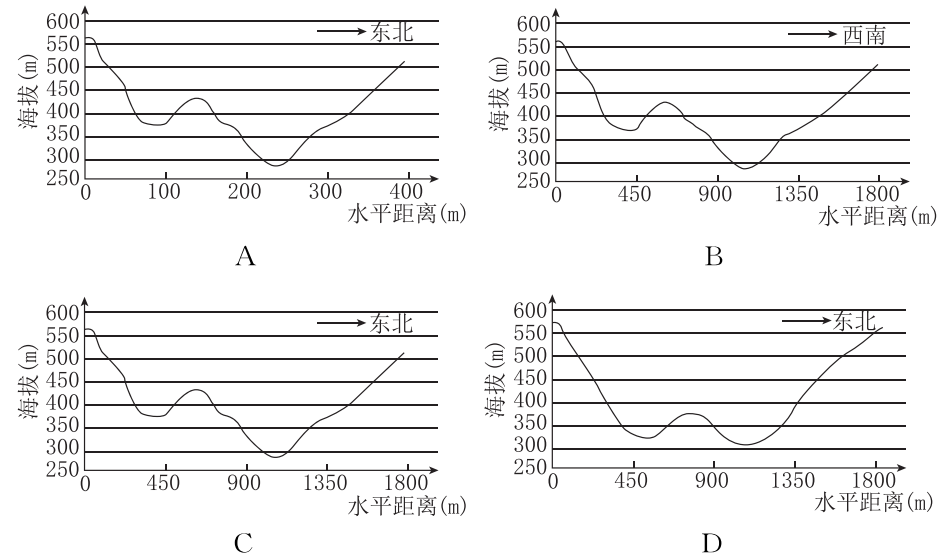
一、选择题(共25小题,每小题2分。每小题所给的四个选项中,只有一个选项是正确答案)

[2025·湖北沙市中学月考]某地质队进行野外考察,下图为考察区域等高线(单位:米)地形图。读图完成1~2题。

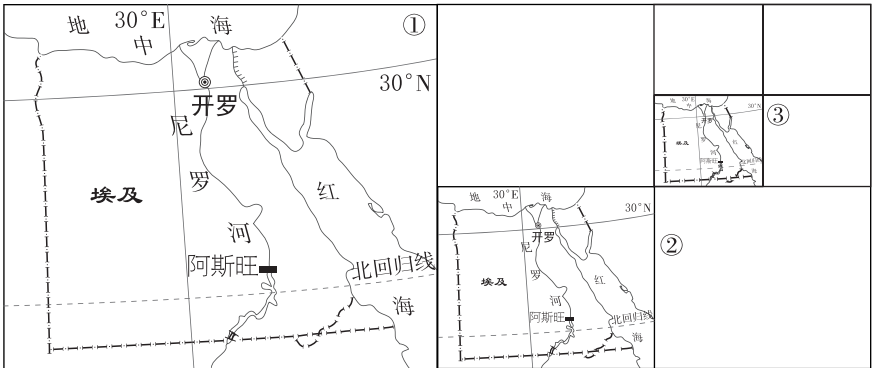


1. 图中
A. 河流由甲村流向乙村
B. 甲村与乙村的直线距离约为3千米
C. 考察路线均沿山谷分布,利于徒步行走
D. 沿考察线路从甲村去西山,坡度先陡后缓

2. 考察队绘制了从西山到北山沿线的地形剖面图,绘制正确的是()



[2025·湖南长沙雅礼中学月考]下图为埃及地图,其中①②③图均表示同一区域,且其图幅依次减少 $\frac{1}{4}$ 。读图完成3~4题。



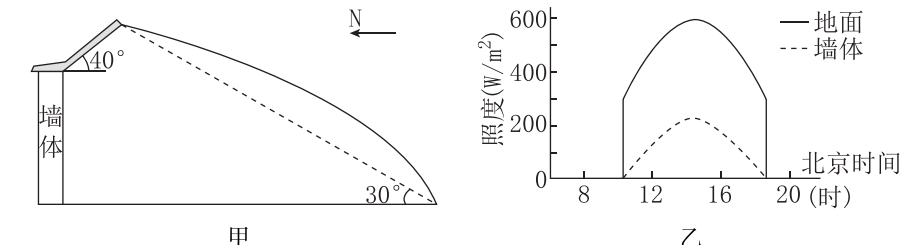
3. 若①图比例尺为1:N,则②图、③图的比例尺依次为()
A. 2:N, 1:2N
B. 1:2N, 2:N
C. 2:N, 4:N
D. 1:2N, 1:4N
4. 一架飞机走最短航线从开罗飞往杭州(120°E, 30°N),其飞行方向应该是()
A. 一直向正东方
B. 先向正北方,后向正南方
C. 先向东北方,后向东南方
D. 先向东南方,后向东北方

[2025·河南鹤壁月考]二十四节气是我国历法中的特定节令,每个节气均有其独特的含义。二十四节气准确地反映了自然节律变化,在人们日常生产生活中发挥了极为重要的作用。下图为二十四节气的划分示意图。据此完成5~6题。



5. 二十四节气能够反映
A. 地球公转地轴倾斜角度
B. 地球自转的角速度变化
C. 地球在公转轨道的位置
D. 太阳公转的角速度变化
6. 下列地球公转速度最接近的两个节气是
A. 夏至与大暑
B. 白露与寒露
C. 小雪与大雪
D. 清明与惊蛰

[2024·浙江宁波二模]太阳辐射照度是指到达某表面的单位面积单位时间内的太阳辐射能量。图甲为某地日光温室示意图,图乙示意该地夏至日测量的室内墙体和室内地面太阳辐射照度数据。据此完成7~8题。



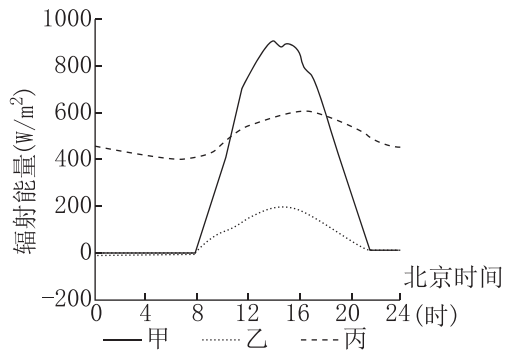
7. 该地最可能位于()

- A. 黑龙江 B. 贵州 C. 新疆 D. 宁夏

8. 该日室内墙体和地面有太阳辐射照度的时长比昼长短,其影响因素是()

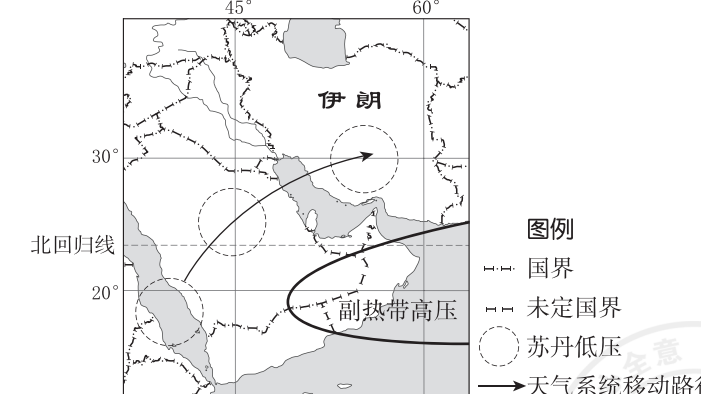
- ①太阳方位 ②地势高低 ③温室朝向 ④天气状况
A. ①③ B. ①④ C. ②③ D. ③④

[2025·广东多校一调]为了分析绿洲区地表辐射收支状况和地表反照率特征,某研究团队记录了新疆昌吉市佃坝绿洲3~11月各辐射通量(单位时间内通过某一截面的辐射能)的变化。下图示意佃坝绿洲某日太阳总辐射、反射短波辐射和地表长波辐射随时间的变化。据此完成9~10题。



9. 图中甲、乙、丙分别对应()
A. 太阳总辐射、反射短波辐射、地表长波辐射
B. 太阳总辐射、地表长波辐射、反射短波辐射
C. 反射短波辐射、地表长波辐射、太阳总辐射
D. 反射短波辐射、太阳总辐射、地表长波辐射
10. 该日所处的月份最可能是()
A. 3月 B. 8月 C. 9月 D. 11月

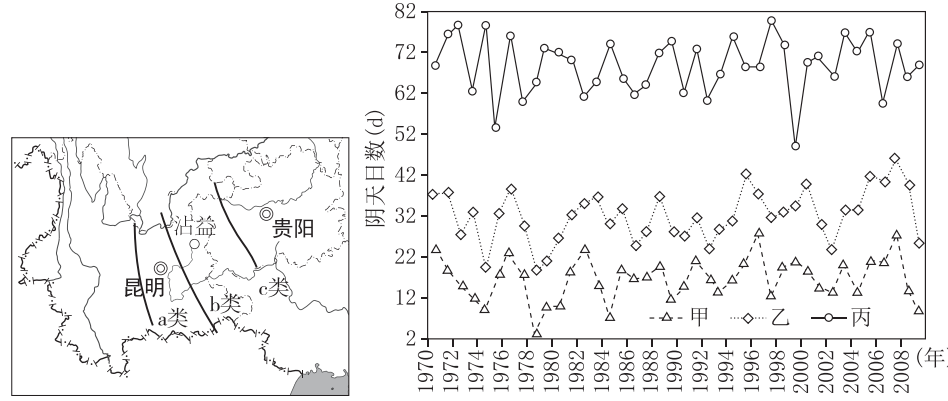
[2025·湖南岳阳月考]伊朗西南部多山地,年降水总量少,夏季降水特别稀少,但空气相对湿度较高。一般情况下受苏丹低压影响,伊朗西南部冬季时有降水出现。2022年伊朗西南部出现了多年不遇的夏季强降水天气,引发了洪涝、泥石流等灾害。下图示意伊朗西南部冬季降水时的大气环流。据此完成11~12题。



11. 伊朗西南部夏季降水少、湿度高的主要原因分别是()
A. 受副热带高压控制,苏丹低压带来水汽
B. 受副热带高压控制,临近海洋,水汽较多
C. 海拔较高,风小,水汽不易扩散
D. 海拔较高,冰川融水带来水汽

12. 推测 2022 年夏季伊朗西南部降水异常偏多的原因有 ()
 ①西南季风异常 ②盛行西风影响 ③苏丹低压控制 ④山地地形雨
 A. ①③ B. ②④ C. ②③ D. ①④

[2024·福建漳州二模] 昆明准静止锋是影响云贵高原地区的重要天气系统,冬、春季表现最为突出。研究人员根据锋面活动的位置,选取昆明、沾益、贵阳 3 个站点,将昆明准静止锋细化为 3 类(见下图左)。c 类准静止锋出现次数最多,占 46%,b 类准静止锋占 40%,a 类准静止锋仅占 14%。下图右示意昆明、沾益、贵阳三地冬季 8 时阴天日数年际变化统计。据此完成 13~15 题。

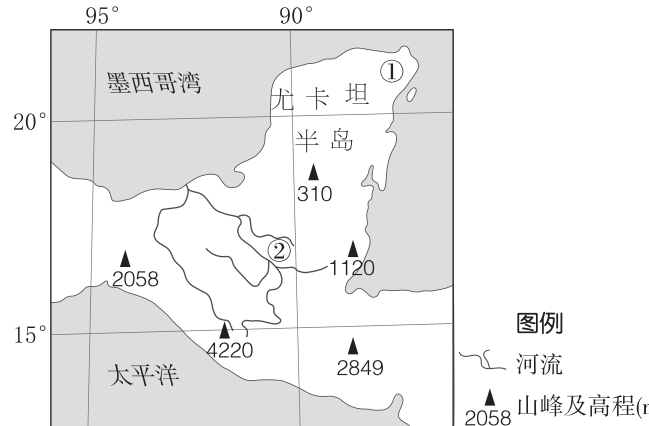


13. 下列关于研究人员确定准静止锋位置的依据,正确的是 ()
 A. 锋线以东东南风、锋线以西西北风
 B. 锋线附近等压线稀疏
 C. 卫星云图中西部云系和东部晴空分界
 D. 锋线附近等温线密集

14. 上右图中统计数据与三地对应正确的是 ()
 A. 甲—昆明,乙—贵阳,丙—沾益
 B. 甲—昆明,乙—沾益,丙—贵阳
 C. 甲—贵阳,乙—沾益,丙—昆明
 D. 甲—贵阳,乙—昆明,丙—沾益

15. 影响丙城市冬季阴天日数年际变化的主导因素是 ()
 A. 暖气团湿度 B. 冷气团温度
 C. 暖气团活动频次 D. 冷气团活动频次

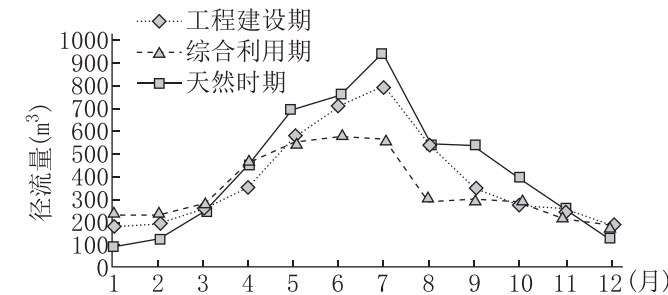
[2025·江西上饶月考] 尤卡坦半岛(如下图)位于中美洲地区,海拔大多低于 150 米。据此完成 16~17 题。



16. 尤卡坦半岛①②两地年降水量差异是 ()
 A. ①地比②地年降水量大
 B. ②地比①地年降水量大
 C. ①②两地年降水量相当
 D. 难以确定

17. 尤卡坦半岛①地气候类型为 ()
 A. 热带雨林气候
 B. 热带季风气候
 C. 热带草原气候
 D. 热带沙漠气候

[2025·河南鹤壁月考] 清江属于长江在湖北省内的第二大支流,发源于湖北省西南部利川市齐岳山龙洞沟,为山溪性河流,流域内洪水陡涨陡落。整个流域面积为 1.67 万平方千米,干流全长 423 千米,自然落差 1430 米。从 1994 年开始,湖北省在清江中下游建设水布垭、隔河岩、高坝洲 3 个梯级水利工程,完成清江流域梯级综合开发的目标。下图示意不同时期清江流域径流量年内分配。据此完成 18~20 题。

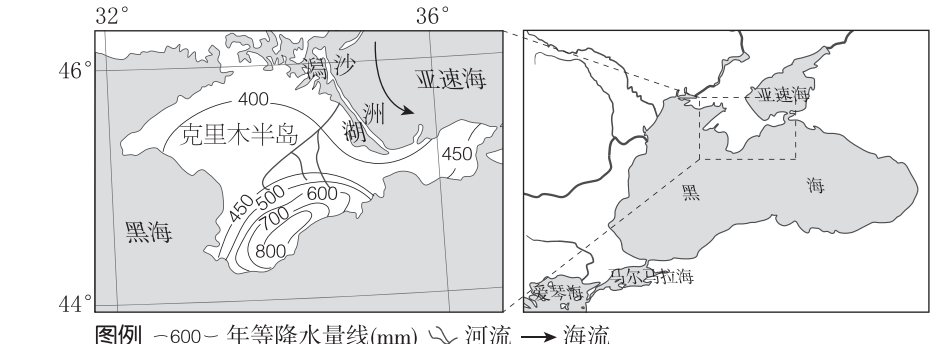


18. 从天然时期至综合利用期,清江流域径流量年内同期变化幅度最大的月份是 ()
 A. 1 月 B. 4 月 C. 7 月 D. 10 月

19. 图示天然时期,清江流域洪水陡涨陡落主要是由于流域 ()
 ①森林覆盖率高,涵养水源能力强
 ②来水量大,水流急
 ③缺少水库的调节作用
 ④江水含沙量大,江心洲多
 A. ①② B. ③④
 C. ①④ D. ②③

20. 建设水布垭、隔河岩、高坝洲 3 个水利工程对清江流域发挥的主要作用有 ()
 ①发电 ②海鲜养殖 ③航运 ④防洪
 A. ①②③ B. ①②④
 C. ①③④ D. ②③④

[2024·山东泰安二模] 克里木半岛水资源短缺,半岛东部的亚速海海流呈逆时针方向流动,亚速海西侧形成漫长的沙洲及著名的潟湖,潟湖盐度远高于亚速海,被称为“腐臭之海”。下图为克里木半岛降水量分布图。据此完成 21~23 题。



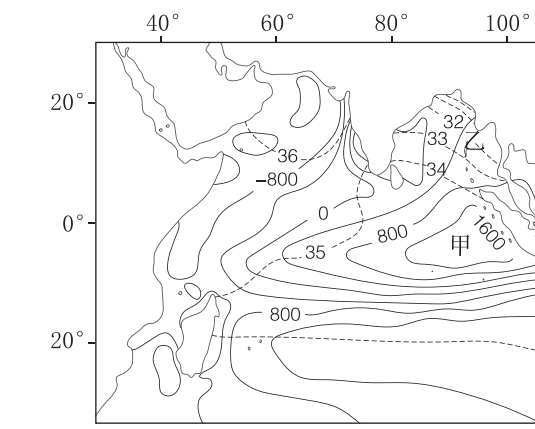
图例 -600- 年等降水量线(mm) ↗ 河流 → 海流

21. 克里木半岛降水量南多北少的主要原因是 ()
 A. 风带移动 B. 地形抬升
 C. 黑海影响 D. 洋流作用

22. 潟湖最为腐臭的季节是 ()
 A. 夏季 B. 冬季 C. 春季 D. 秋季

23. 与亚速海相比,潟湖盐度更高的主要原因是 ()
 A. 入湖径流量小,稀释作用弱 B. 大气温度高,蒸发强
 C. 水域相对封闭,盐分易积聚 D. 处于西风背风坡,降水少

[2025·广东多校一调] 研究表明,海洋表层环流对海表盐度的高低、分布有较大的影响。下图示意热带印度洋多年平均年净淡水通量(降水量与蒸发量的差值)和多年平均海表盐度的分布。据此完成 24~25 题。



- 图例 -800- 年净淡水通量(mm) --- 35 --- 盐度(‰)
 24. 与图示海域年净淡水通量分布差异的形成无关的因素是 ()
 A. 纬度位置 B. 季风环流
 C. 气温高低 D. 海水盐度

25. 图示海域高年净淡水通量中心(甲海域)与低盐中心(乙海域)并不重合,与该现象形成密切相关的洋流是 ()
 A. 赤道逆流 B. 北赤道暖流
 C. 南赤道暖流 D. 西风漂流

请选择题答案填入下表:

题号	1	2	3	4	5	6	7	8	9	10	11	12	13
答案													
题号	14	15	16	17	18	19	20	21	22	23	24	25	总分
答案													

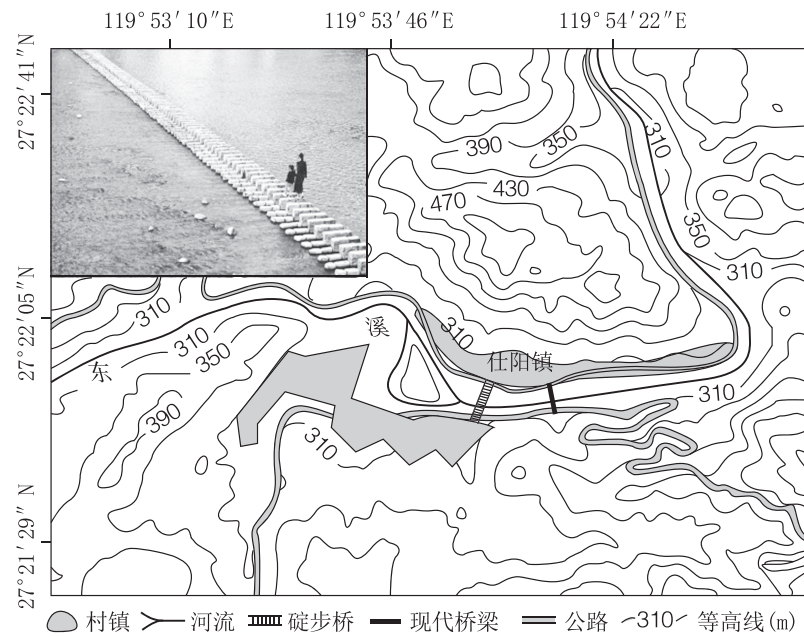
第二部分 非选择题

(建议用时:50分钟,分值50分)

二、非选择题(本大题共4小题,共50分)

26. (14分)阅读图文材料,完成下列要求。

碇步桥是桥梁的原始形态之一,学术上称堤梁桥,因其形状酷似琴键,故又名“琴桥”,是偏远丘陵地区河道上最原始的过河方式,多见于我国浙江、福建丘陵地区。碇步桥是由大小砾石或雕琢较整齐的花岗岩条石放在水中筑起石磴,连接后形成的堤梁式石桥,由高低两级组成,一般桥长几十米到数百米不等。现在,浙闽丘陵地区保留下来的碇步桥多为明清时期修建,其交通功能地位显著下降,数量减少,已被列为全国重点文物保护单位。下图为我国浙江省温州市泰顺县仕阳镇所在地区地形图及东溪碇步桥景观图。



(1)分析明清时期仕阳镇碇步桥选择在该镇中西部河面建设的主要原因。(4分)

(2)简述明清时期仕阳镇所在的东溪河段上没有修建木架桥的理由。

(6分)

(1)据图描述伊比利亚半岛年降水量的分布特点。(3分)

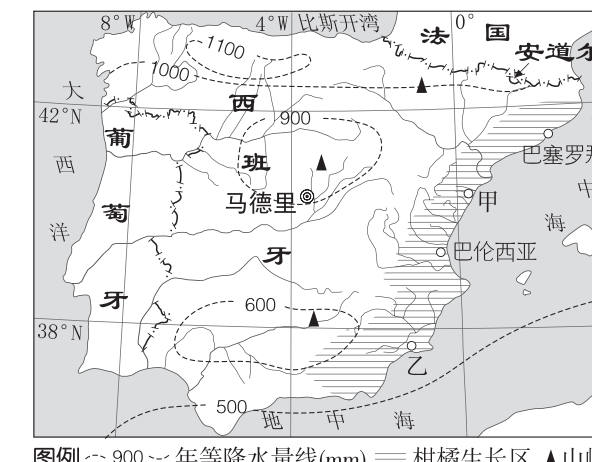
(3)简述现在浙闽丘陵地区河流上的碇步桥交通功能地位下降和数量减少的原因。(4分)

(2)比较柑橘生长区中甲地和乙地气候特点的异同并简要分析原因。

(6分)

27. (13分)阅读图文材料,完成下列要求。

伊比利亚半岛自然环境多样,气候类型多样,即使相同的气候类型,年平均气温和年降水量差异也较大。半岛西南部海峡是联系大西洋与印度洋的捷径。下图为伊比利亚半岛地理要素示意图。



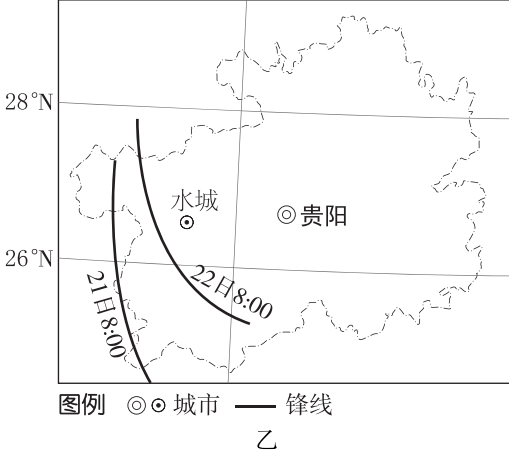
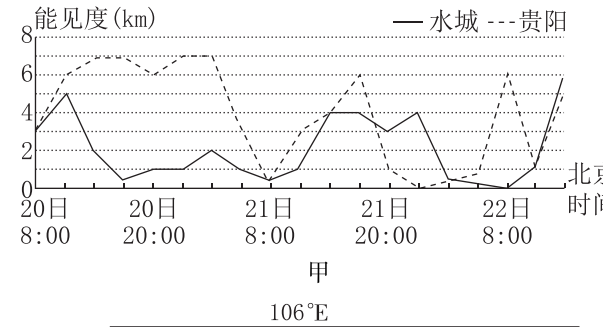
图例:—900~--年等降水量线(mm)——柑橘生长区 ▲山峰

(3)推断西南部海峡表层和深层海水的流向并简要分析其原因。(4分)



28. (10分)[2025·河北唐山月考] 阅读图文材料,完成下列要求。

雾是贴地层空气中悬浮大量水滴或冰晶微粒而使水平能见度降到1千米以内的天气现象。受锋面天气系统影响,贵州在秋冬季常有锋面雾出现。某年2月21日前后,受一次锋面天气系统影响,贵州部分地区出现了锋面雾,2月23日该锋面天气系统消散。图甲为2月21日前后水城、贵阳两地的水平能见度变化,图乙示意2月21日8:00和2月22日8:00的锋线位置。



(1)指出水城、贵阳两地同时出现锋面雾的时段。(2分)

(2)比较锋面雾在水城、贵阳两地的过程差异并解释原因。(6分)

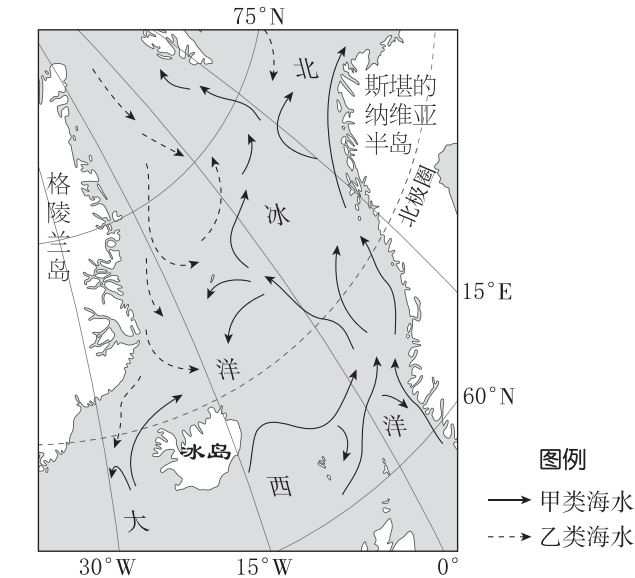
(1)与甲类海水相比,指出夏秋季乙类海水性质的特点。(3分)

(3)秋冬季,影响贵州的锋面附近常出现毛毛细雨。分析这些毛毛细雨对当地锋面雾形成的促进作用。(2分)

(2)说明北欧海海洋锋对周边渔民捕捞作业的影响。(6分)

29. (13分)阅读图文材料,回答下列问题。

海水性质明显不同的两类水体交汇易形成海洋锋。位于大西洋和北冰洋交界处的北欧海存在海洋锋现象,在夏秋季尤为明显。每年冬季,由于冰岛低压等多种原因,北欧海向大气输送大量热量进而影响大范围的大气环流。下图为北欧海的海水运动示意图。



(3)结合海—气相互作用的具体方式,解释冬季北欧海向大气输送大量热量的原因。(4分)